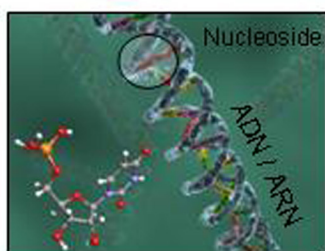


Dissociation induite par collision de Molécules Biologiques Élémentaires

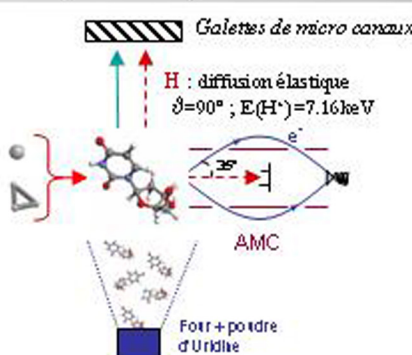
P. Cafarelli, J.-P. Champeaux, A. Le Padellec, P. Moretto-Capelle, M. Richard-Viard,
Laboratoire Collisions Aggrégats et Réactivité (LCAR), UMR5589, Université Paul Sabatier – bâti 3R1b4, 118 route de Narbonne,
31062 Toulouse Cedex 04, France. email: champeaux@irsamc.ups-tlse.fr

Introduction



L'hadronthérapie est un outil utilisé pour sérialiser de manière sélective une zone tumorale en l'irradiant par des faisceaux de particules énergétiques. L'endommagement irréversible de l'ADN, résulte d'une cascade complexe d'événements physiques, chimiques puis biochimiques dont l'origine est la perte d'énergie des particules incidentes lors de leur parcours dans la matière biologique. Les spécificités de notre montage apportent une contribution aux études conduites autour de l'altération de l'ADN causée par interaction direct avec le faisceau. Nous présentons des résultats obtenus sur des molécules biologiques en phase gazeuse (bases et nucléosides) interagissant avec des protons ($E_0 = 100$ keV). Les informations extraites sont multiples : sections efficaces absolues d'ionisation et de fragmentation des molécules, distribution en masse des fragments, rapport de branchements, énergies cinétiques des fragments, durées de vie etc. Ces informations peuvent être exploitables, en tant que paramètres d'entrée dans les codes de calcul simulant les dégâts induits dans les premiers instants du processus d'endommagement du milieu biologique.

Dispositif Expérimental



Projectile :

H^+ de 100 keV, énergie correspond proche du maximum du dépôt de dose (maximum du pic de Bragg)

H_2^+ (25 keV) \Leftrightarrow 3 protons de 8.33 keV

L'analyse des protons diffusés à 90° permet la normalisation des sections efficaces (spectrométrie électronique et projet en spectrométrie ionique)

Fragments chargés

Spectrométrie de masse par temps de vol (multi-corrélation)

Electrons émis

Spectrométrie d'électrons (Analyseur à Miroirs Cylindriques), mesure de sections efficaces doublement différentielles [6]

Non détectés : Neutres et Antiprotons

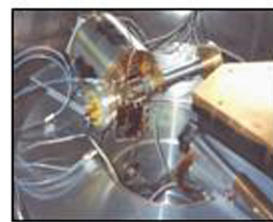
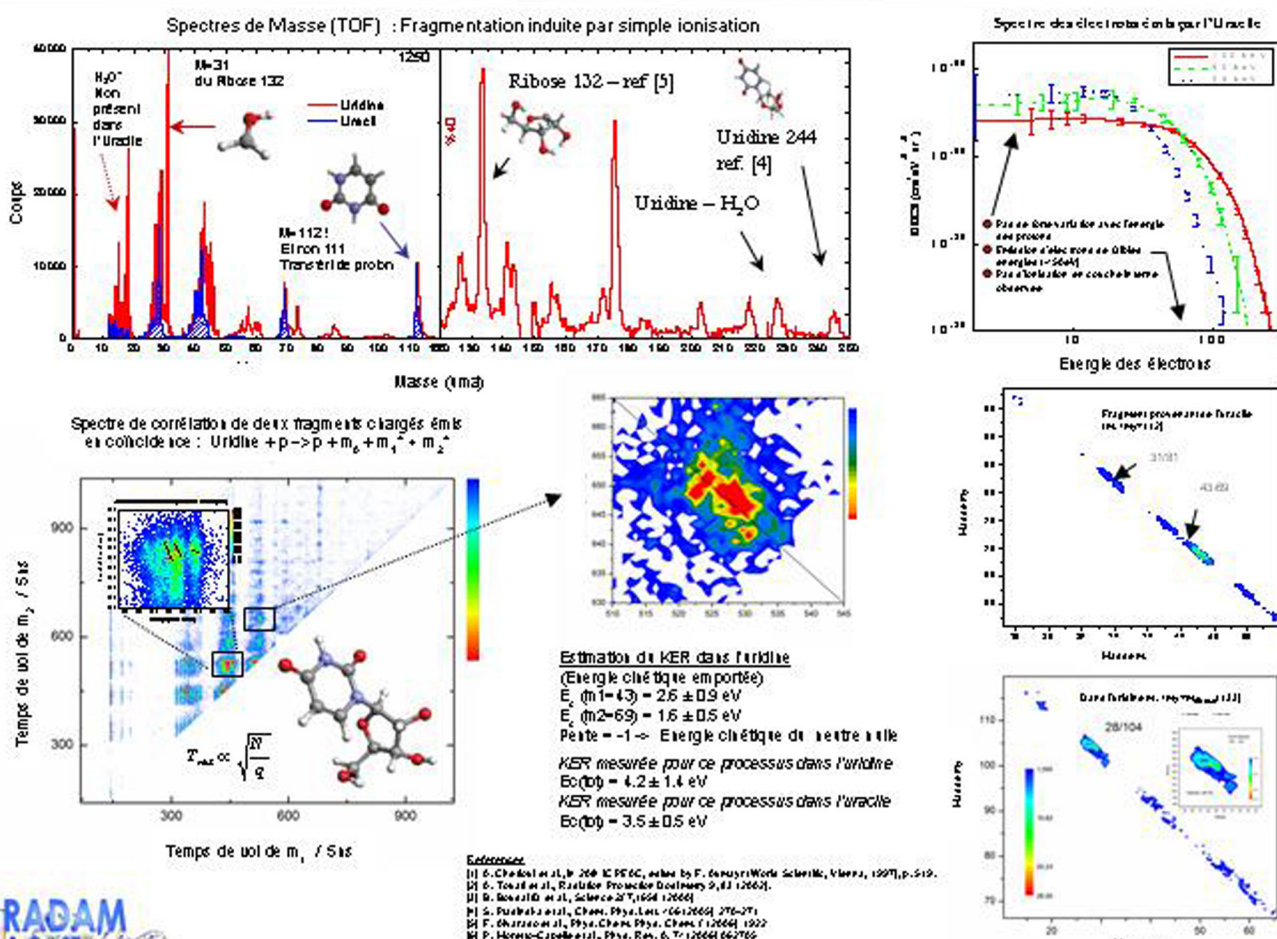


Photo de la chambre d'interaction

Exemple de Résultats : Cas de l'uridine et de l'uracile



- Références**
- [1] G. Chabaud et al., 2004, E-PFGC, édité par F. Guenot, World Scientific, Vienne, 1997, p. 519.
 - [2] G. Chabaud et al., Nucl. Instr. and Methods in Physics Research B, 2002, 186(1-4), 126-129.
 - [3] D. Desalvo et al., Science, 2001, 294, 1264.
 - [4] G. Desalvo et al., Chem. Phys. Lett., 1999, 264(1-2), 278-281.
 - [5] F. Ohresser et al., Phys. Chem. Phys., Chem. 1 (2000), 1922.
 - [6] P. Moretto-Capelle et al., Phys. Rev. C, 12 (2000), 064205.